

شبیه‌سازی سخت افزار در حلقه واحد کنترل سوخت موتور توربین گاز هوایی با روش پیش‌بینی برمبنای مدل

مصطفی نصیری*

گروه مهندسی مکانیک، دانشکده فنی مهندسی گلپایگان، دانشگاه صنعتی اصفهان

و تقاضی منظری (استاد)

دانشکده مهندسی مکانیک، دانشگاه علم و صنعت ایران

مروضی رضازاده (استادیار)

گروه مهندسی مکانیک، دانشکده فنی مهندسی گلپایگان، دانشگاه صنعتی اصفهان

مهمنشی مکانیک شریف (بهار ۱۴۰۱)
دوری ۳۷۸۰، شماره ۱، ص. ۳۱۵-۳۱۶، پژوهشی

شبیه‌سازی سخت افزار در حلقه واحد کنترل سوخت یک موتور توربین گاز هوایی را به شده است. واحد کنترل سوخت، شامل یک شیر کنترل تناوبی است که در آن سروموتور و بادامک باعث حرکت اسپول شیر کنترل جریان می‌شود. در این شبیه‌سازی، واحد کنترل سوخت واقعی در کنار شبیه‌سازی زمان - واقعی موتور توربین گاز هوایی، آزمایش و ارزیابی می‌شود. دبی خروجی از واحد کنترل سوخت توسط یک دبی سنج اندازه‌گیری و به شبیه‌ساز ارسال می‌شود. برای اتصال واحد الکتروهیدرولیکی به ریانه شبیه‌ساز، نیاز به عملگرها و حسگرهای اضافی به عنوان سیستم انتقال است که در موتور واقعی وجود ندارد. دینامیک سیستم انتقال می‌تواند باعث کاهش دقت شبیه‌سازی سخت افزار در حلقه شود. برای جبران اثر دینامیکی تاخوسته ناشی از سیستم انتقال، از روش پیش‌بینی برمبنای مدل استفاده شده است. مقایسه نتایج شبیه‌سازی سخت افزار در حلقه به صورت تجربی بیان‌گر توانایی روش پیش‌بینی برمبنای مدل در کاهش خطای شبیه‌سازی به کمتر از ۵٪ است.

m.nasiri@iut.ac.ir
montazeri@iust.ac.ir
m.rezazade@iut.ac.ir

وازگان کلیدی: سخت افزار در حلقه، واحد کنترل سوخت، موتور توربین گاز هوایی، پیش‌بینی برمبنای مدل.

۱. مقدمه

هوایی به عنوان یک مرحله‌ی اصلی از مراحل طراحی سیستم کنترل در نظر گرفته می‌شود. موقعيت در ساخت و تولید موتور توربین گاز هوایی، علاوه بر وابستگی به طراحی مکانیکی سیستم، به عملکرد سیستم کنترل موتور نیز بسیار وابسته است. واحد کنترل الکترونیکی موتور در واقع مغز موتور توربین گاز است که باعث کنترل دقیق سوخت و تأمین امنیت موتور می‌شود. این واحد یک سخت افزار الکترونیکی است که الگوریتم کنترلی بر روی آن پیاده‌سازی می‌شود؛ روند طراحی و آزمایش واحد کنترل الکترونیکی با شبیه‌سازی مدل در حلقه (MIL)^۱ شروع می‌شود که در این مرحله، موتور و سیستم کنترل هر دو شبیه‌سازی شده و الگوریتم کنترلی طراحی می‌شود. در مرحله‌ی دوم، شبیه‌سازی نرم افزار در حلقه (SIL)^۲ انجام می‌گیرد که در این مرحله الگوریتم کنترلی به یک برنامه قابل پیاده‌سازی تبدیل شده و این برنامه درون شبیه‌سازی بقیه اجزای سیستم به صورت زمان - واقعی اجرا می‌شود. در مرحله‌ی بعد، سیستم کنترل طراحی شده بر روی سخت افزار مربوطه پیاده‌سازی شده و واحد کنترل الکترونیکی (ECU) برنامه‌ریزی می‌شود. در نهایت نوبت به آزمون آزمایشگاهی واحد کنترل الکترونیکی

* نویسنده مسئول

تاریخ: دریافت ۱۲/۰۰/۱۴۰۰، اصلاحیه ۲۲/۰۸/۱۴۰۰، پذیرش ۹/۱۴۰۰.

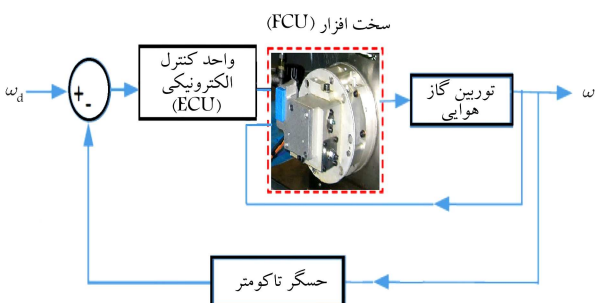
DOI:10.24200/J40.2021.54521.1532

حلقه سیستم تعليق فعال خورو و همچنین سیستم کنترل زاویه‌ی ماهواره را توضیح داده‌اند. هوریوچی و کونو^[۱۹] از روش پیش‌بینی چندجمله‌ی برای تخمین سیگنال فرمان مطلوب در شبیه‌سازی سخت افزار در حلقه استفاده کرده‌اند. احمدی‌زاده و همکاران،^[۲۰] از اصلاح سیگنال فرمان و همچنین اصلاح سیگنال فیدبک برای کاهش اثر سیستم‌های انتقال استفاده کرده‌اند. کاسرسوب و همکاران^[۲۱] از تابع تبدیل معکوس سیستم انتقال برای افزایش دقت شبیه‌سازی سخت افزار در حلقه بهره گرفته‌اند. چن و ریکار^[۲۲] نیز یک تابع تبدیل مرتبه یک برای سیستم انتقال هیدرولیکی در نظر گرفته و از معکوس مدل سیستم انتقال در شبیه‌سازی سخت افزار در حلقه استفاده کرده‌اند. آنها همچنین در پژوهشی دیگر، به بهبود روش مدل معکوس با استفاده از جیران‌سازی دوگانه پرداخته‌اند.^[۲۳] والاس و همکاران^[۲۴] معادلات دیفرانسیل مرتبه اول تأخیری حاکم بر شبیه‌سازی سخت افزار در حلقه یک سیستم را به دست آورده و به بررسی پایداری شبیه‌سازی سخت افزار در حلقه پرداخته‌اند.

در این مقاله، برای اولین بار از روش پیش‌بینی برمبانای مدل برای شبیه‌سازی سخت افزار در حلقه واحد کنترل ساخت موتور تورین گاز هوایی استفاده شده است. در این شبیه‌سازی، از یک دبی سنج برای اندازه‌گیری دبی جریان ساخت استفاده شده است و بنابراین دینامیک ناخواسته ناشی از استفاده از دبی سنج باعث ناپایداری شبیه‌سازی می‌شود. با توجه به پاسخ فرکانسی واحد کنترل ساخت، از روش پیش‌بینی برمبانای مدل به کاهش اثر دینامیکی ناخواسته ناشی از سیستم انتقال در مسیر پس خور پرداخته شده است. در این روش ابتدا با استفاده از فیلتر کالمون، متغیرهای حالت تخمین زده شده است و سپس به پیش‌بینی متغیرهای حالت پرداخته می‌شود. نتایج نشان می‌دهد که ارسال متغیرهای حالت پیش‌بینی شده باعث کاهش خطای شبیه‌سازی سخت افزار در حلقه می‌شود. در این روش، چون تخمین دقیق دینامیک دبی سنج از اهمیت بالایی برخوردار است، عدم قطعیت در مدل دبی سنج نیز مورد بررسی و ارزیابی قرار گرفته است.

۲. ساختار شبیه‌سازی سخت افزار در حلقه

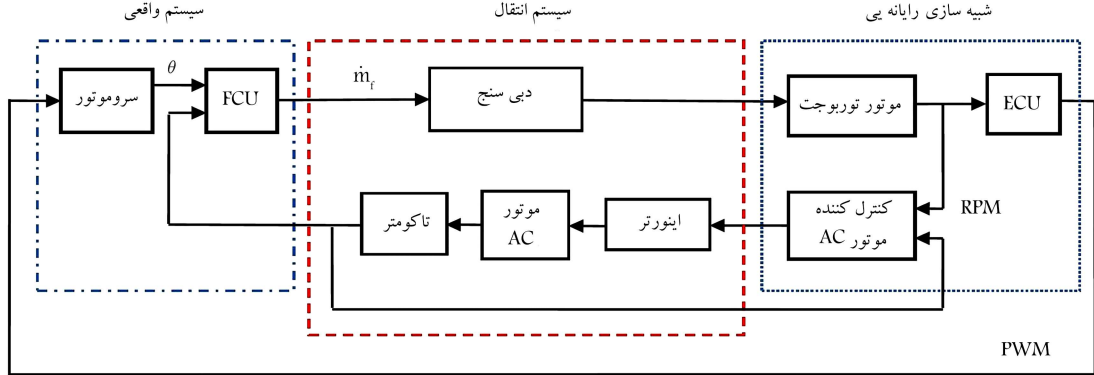
سیستم کنترل ساخت موتور تورین گاز هوایی، یک سیستم کنترل حلقه بسته است که در آن واحد کنترل الکترونیکی (ECU) نقش کنترل کننده واحد کنترل ساخت (FCU) نقش عملکر را ایفا می‌کنند. واحد کنترل ساخت (FCU) یک سیستم الکتروهیدرولیکی است که شامل یک موتور سرو DC و همچنین دوشیر هیدرولیکی کنترل جریان و کنترل فشار است. ولی واحد کنترل الکترونیکی (ECU) یک بورد الکترونیکی جهت کنترل دبی ساخت ورودی موتور است. در اینجا هدف از شبیه‌سازی سخت افزار در حلقه، آزمون واحد کنترل ساخت در شبیه‌سازی زمان - واقعی بقیه اجرای سیستم مطابق شکل ۱ است.



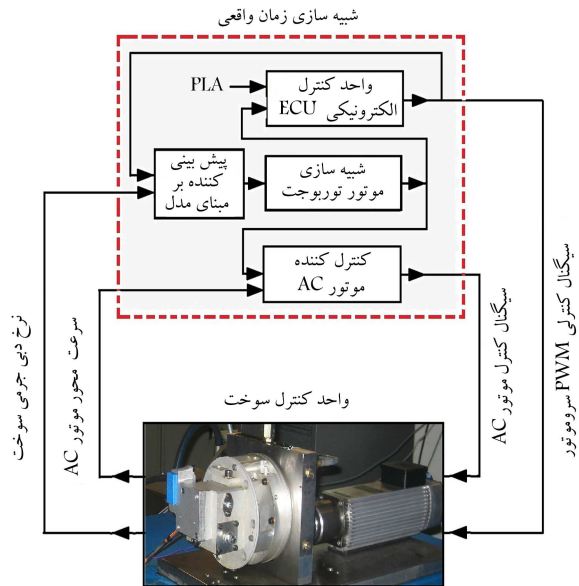
شکل ۱. شبیه‌سازی سخت افزار در حلقه واحد کنترل ساخت.

می‌رسد که برای این منظور، از شبیه‌سازی سخت افزار در حلقه استفاده می‌شود. شبیه‌سازی سخت افزار در حلقه می‌تواند چارچوب سیار مناسبی برای تولید اولیه، کالیبراسیون و اعتبارسنجی سیستم‌های کنترلی باشد.^[۲۵] برخی از مهم‌ترین تحقیقات صورت گرفته به منظور کاربرد شبیه‌سازی سخت افزار در حلقه در طراحی و آزمودن سیستم کنترل الکترونیکی موتورهای هوایی شامل آزمون کنترل کننده استارت موتور می‌باشد.^[۲۶] آزمون سیستم کنترل موتور رم جت با ساخت مایع^[۲۷] و آزمون سیستم کنترل چندمتغیره موتور جت در شرایط پرواز^[۲۸] است. محققان با بررسی مشکلات ناشی از استفاده از گام‌های زمانی کوچک در شبیه‌سازی زمان - واقعی، استفاده از شبیه‌سازی چندترخی را برای آزمون واحد کنترل الکترونیکی ساخت موتور توربوjet پیشنهاد کرده‌اند.^[۲۹] آنها همچنین در پژوهشی دیگر، عوامل ایجاد خطا در شبیه‌سازی سخت افزار در حلقه را بررسی کرده‌اند.^[۱۰] کاربرد آزمون ساخت افزار در حلقه‌ی واحدهای الکترونیکی فقط محدود به استفاده در موتورهای هوایی نبوده بلکه کاربردهای دیگری نیز در صنعت خودرو و هوایما دارد.

در سال‌های اخیر، استفاده از شبیه‌سازی سخت افزار در حلقه برای آزمون اجرای مکانیکی یک سیستم، موضوع بسیاری از محققین بوده است. در این نوع شبیه‌سازی لازم است توان واقعی بین قسمت فیزیکی و قسمت عددی انتقال یابد و این موضوع، چالش‌های بزرگی را در این زمینه ایجاد کرده است.^[۱۱] شبیه‌سازی ساخت افزار در حلقه در صنایع خودرو و هوایی برای آزمون و ارزیابی سیستم‌های هیدرولیکی و مکانیکی، مورد استفاده قرار گرفته است. از این روش برای آزمون سیستم ناوبری برمبانای بینایی یک هوایما بدون سرنوشتین استفاده شده، که در آن سیستم اوپنیک و دوربین بر روی مدل هوایما در تولید باد، آزمون شده است.^[۱۲] همچنین از این روش برای آزمایش سیستم تشخیص عیب و کنترل خطای مربوط به بالچه‌ی بالابر هوایما استفاده شده است. بارهای آبروینامیکی پرواز در شرایط مختلف پروازی با استفاده از شبیه‌سازی ساخت افزار در حلقه برای آزمایش پیلهای ساختی هوایی نیز استفاده شده است. سیستم‌های توان قدرت، انتقال قدرت، ذخیره‌ی انرژی و سیستم‌های کنترل به عنوان ساخت افزار در حلقه‌ی شبیه‌سازی به صورت زمان - واقعی آزمایش شده است. بارهای واقعی الکترونیکی و مکانیکی به سیستم قدرت هوایما در شرایط مختلف پروازی اعمال شده است.^[۱۳] برای آزمایش واحد هیدرولیکی کنترل ساخت موتور توربوjet یک هوایما بدون سرنوشتین در شرایط مختلف پروازی نیز از شبیه‌سازی ساخت افزار در حلقه استفاده شده است.^[۱۴] در شبیه‌سازی ساخت افزار در حلقه‌ی سیستم‌های مکانیکی، یکی از چالش‌های مهم ناشی از استفاده از سیستم‌های انتقال بین قسمت فیزیکی و قسمت عددی است. سیستم‌های انتقال عموماً عملگرهاست که برای اعمال توان واقعی به قسمت فیزیکی استفاده می‌شوند. از دینامیکی این سیستم‌های انتقال به صورت تأخیر زمانی یا پس فاز در نظر گرفته می‌شوند. از دینامیکی ناشی از سیستم‌های انتقال می‌تواند باعث کاهش دقت شبیه‌سازی یا ناپایداری شبیه‌سازی شود. تاکنون روش‌های مختلفی برای جبران‌سازی اثر دینامیکی سیستم‌های انتقال مورد استفاده قرار گرفته است. سانسانو و همکاران،^[۱۵] به بررسی اهمیت دینامیک سیستم انتقال در شبیه‌سازی ساخت افزار در حلقه پرداخته و سیستم‌های انتقال استاتیکی و دینامیکی را مورد ارزیابی قرار داده‌اند. کاله و همکاران^[۱۶] به طراحی مشاهده‌گر برای جبران‌سازی خطای اندازه‌گیری در شبیه‌سازی ساخت افزار در حلقه پرداخته‌اند. فاریاس و همکاران،^[۱۷] اهمیت کاهش اثر دینامیکی ناخواسته ناشی از سیستم‌های انتقال در شبیه‌سازی ساخت افزار در



شکل ۲. سیستم های انتقال در شبیه سازی سخت افزار در حلقه ای واحد کنترل سوخت.



شکل ۴. دیاگرام عملکرد رایانه شبیه ساز زمان - واقعی.

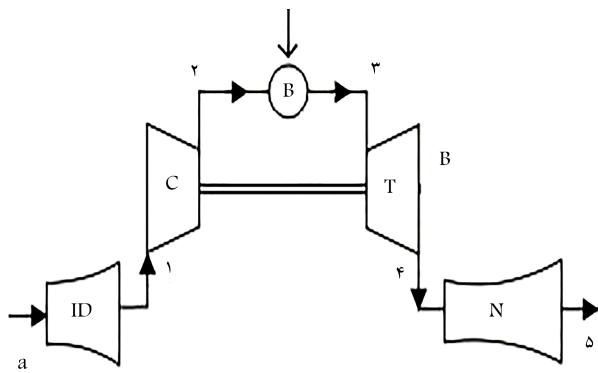
اریفیس استفاده شده است که از نوسانات دبی سوخت که توسط پمپ ایجاد می شود جلوگیری می کند. در بستر آزمون، از یک روغن غیرقابل اشتعال با گازروی و چگالی مشابه سوخت واقعی استفاده شده است. برای جایه جایی اسیول شیر کنترل دبی، یک سروروموتور DC به همراه یک بادامک استفاده شده است. برای تأمین فشار پست پمپ چرخ دنده بی واحد کنترل سوخت، از یک مخزن و یک پمپ بوستر استفاده شده است. بستر آزمایش سخت افزار در حلقه شامل دو قسمت، یکی قسمت فیزیکی واحد کنترل سوخت (FCU) و دیگری قسمت نرم افزاری شامل موتور توربین گاز هوایی و واحد کنترل الکترونیکی (ECU) است. قسمت نرم افزاری شامل رایانه بی با سیستم عامل زمان واقعی Real – time Windows Target به قسمت فیزیکی از کارت دیجیتال به آنالوگ PCI – ۱۷۱۱U است. رایانه شبیه ساز مطابق شکل ۴، شامل مدل ترمودینامیکی موتور، الگوریتم کنترل سوخت، کنترل کننده موتور AC و همچنین الگوریتم پیش بینی برای جبران سازی تأخیر زمانی ناشی از سیستم انتقال است. کارت دیجیتال به آنالوگ دارای دو خروجی آنالوگ است که یکی از خروجی های آنالوگ برای کنترل موتور AC و خروجی آنالوگ دیگر به همراه یک مبدل آنالوگ به PWM برای کنترل سروروموتور DC استفاده شده است. برای اندازه گیری دبی سوخت، از خروجی سیگنال



شکل ۳. بستر آزمایش سخت افزار در حلقه واحد کنترل سوخت.

چون واحد کنترل الکترونیکی به صورت فیزیکی در شبیه سازی قرار می گیرد، بنابراین نیاز به سیستم های انتقال برای اتصال قسمت فیزیکی به شبیه ساز مطابق شکل ۲ است. دبی خروجی از واحد کنترل سوخت توسط دبی سنج اندازه گیری می شود و پمپ واحد کنترل الکترونیک توسط یک موتور الکترونیکی AC درایو می شود. در اینجا دبی سنج و موتور الکترونیکی، سیستم های انتقال شبیه سازی سخت افزار در حلقه هستند که در سیستم حلقه بسته ای اصلی وجود ندارند و برای شبیه سازی سخت افزار در حلقه اضافه می شوند.

واحد کنترل سوخت شامل یک پمپ چرخ دنده بی است که محور آن به واسطه یک گیربکس توسط شفت موتور توربین گاز هوایی کاهنده دوران می کند. موتور توربین گاز هوایی به همراه واحد کنترل الکترونیکی آن شبیه سازی رایانه بی می شوند ولی واحد کنترل سوخت به صورت فیزیکی در کنار شبیه ساز نرم افزاری قرار می گیرد. بنابراین پمپ واحد کنترل سوخت به صورت مکانیکی مطابق شکل ۳ توسط یک موتور الکترونیکی AC با استفاده از فرمانی که از شبیه ساز رایانه بی دریافت می کند به حرکت درمی آید. برای کنترل دور موتور الکترونیکی از یک اینورتر با کنترل کننده PID استفاده شده است. دور محور پمپ واحد کنترل سوخت توسط یک تاکومتر نوری اندازه گیری می شود. برای اندازه گیری دبی سوخت خروجی از واحد کنترل سوخت نیز از یک دبی سنج استفاده شده است. موتور الکترونیکی AC و همچنین دبی سنج، سیستم های انتقالی واسطه بین قسمت واقعی و قسمت نرم افزاری هستند. واحد کنترل سوخت علاوه بر پمپ چرخ دنده بی شامل دو شیر اسپول دار، یکی برای کنترل دبی و دیگری برای کنترل فشار با کنار گذار کردن دبی سوخت به مخزن، باعث دبی زیاد می شود، شیر کنترل فشار با کنار گذار کردن دبی سوخت به مخزن، ثابت نگه داشتن اختلاف فشار می شود. این دو شیر در کنار هم در واقع تشکیل یک شیر تناسیی را می دهند که در آن دبی خروجی از واحد کنترل سوخت متناسب با جایه جایی اسپول شیر کنترل دبی خواهد بود. در واحد کنترل سوخت همچنین از یک



شکل ۵. چرخه‌ی موتور توربین گاز هوایی تک محوره (ID: دیفیوزر ورودی، کمپرسور، B: محفظه احتراق، T: توربین، N: نازل).
Prime('): ورودی.

الف) دیفیوزر ورودی: جریان هوا در دیفیوزر یک آیزنتروپیک در نظر گرفته می‌شود. انتقال حرارت و اصطکاک بین هوا و دیواره، مدنظر قرار ننمی‌گردد. جریان هوا در دیفیوزر شبه یکنواخت فرض می‌شود یعنی رفتار دینامیکی هوا در نظر گرفته نمی‌شود. دما و فشار در خروجی دیفیوزر با استفاده از شرایط پرازی چنین به دست می‌آید:

$$\frac{T_1}{T_\infty} = 1 + \frac{\gamma - 1}{2} M^2 \quad (1)$$

$$\frac{P_1}{P_\infty} = \left(1 + \frac{\gamma - 1}{2} M^2 \right)^{\frac{\gamma}{\gamma - 1}} \quad (2)$$

ب) کمپرسور: عملکرد حالت پایایی کمپرسور را می‌توان مطابق رابطه‌ی ۳ ارزیابی کرد. دبی جرمی تصحیح شده هوا ورودی به کمپرسور را می‌توان بر حسب نسبت فشار و سرعت محور کمپرسور چنین به دست آورد:

$$m_c = \frac{\delta_1}{\sqrt{\theta_1}} f_1 \left(\frac{P_r}{P_1}, \frac{N}{\sqrt{\theta_1}} \right), \quad \delta_1 = \frac{P_1}{P_\infty}, \quad \theta_1 = \sqrt{\frac{T_1}{T_\infty}} \quad (3)$$

و دبی هوا ورودی به کمپرسور را می‌توان با استفاده از دبی تصحیح شده چنین محاسبه کرد:

$$\dot{m}_1 = \frac{\delta_1 m_c}{\sqrt{\theta_1}} \quad (4)$$

با زده کمپرسور را نیز می‌توان بر حسب نسبت فشار و سرعت محور کمپرسور به دست آورد:

$$\eta_c = f_1 \left(\frac{P_r}{P_1}, \frac{N}{\sqrt{\theta_1}} \right) \quad (5)$$

برای بررسی دمای کمپرسور، باید اثر دما بر گرمای ویژه‌ی هوا را در نظر داشت. بنابراین، دمای هوا درون کمپرسور را با استفاده از مقدار میانگین رابطه‌ی ۶ محاسبه می‌شود.

$$T_c = \frac{T_r - T_\infty}{\ln \left(\frac{T_r}{T_\infty} \right)} \quad (6)$$

که در آن T_r^* دمای ایزنتروپیک بعد از کمپرسور بوده و چنین به دست می‌آید:

$$T_r^* = T_r \left\{ 1 + \frac{1}{\eta_c} \left[\left(\frac{P_r}{P_1} \right)^{\frac{\gamma - 1}{\gamma}} - 1 \right] \right\} \quad (7)$$

جریان دبی سنج به همراه یک مبدل سیگنال جریان به ولتاژ استفاده شده است. برای اندازه‌گیری سرعت محور پمپ نیز از خروجی پالس تاکومتر به همراه یک مبدل فرکانس به ولتاژ استفاده شده است.

۳. مدل‌سازی موتور توربین گاز هوایی

در شبیه‌سازی ساخت افزار در حلقه (HIL)، واحد کنترل سوخت واقعی در کنار مدل ریاضی موتور توربین گاز هوایی آزمایش می‌شود. بنابراین در این شبیه‌سازی، نیازی به مدل ریاضی واحد کنترل سوخت نبوده و فقط مدل ریاضی موتور توربین گاز هوایی ارائه شده است. موتور توربین گاز هوایی مورد بررسی یک موتور تک محوره شامل کمپرسور سه مرحله‌یی، توربین یک مرحله‌یی و نازل همگرا است. این موتور جریان کنار گذر و همچنین شیر تخلیه هوا از کمپرسور ندارد. برای مدل‌سازی این موتور هوای ورودی و گازهای ناشی از احتراق به عنوان گاز ایده‌آل فرض شده و اثرات ناشی از انتقال حرارت در موتور صرف نظر شده است. در شکل ۵، شماتیک موتور توربین گاز هوایی و شماره‌گذاری استفاده شده برای مدل‌سازی نشان داده شده است.

موتور مورد مطالعه دارای ۵ قسمت اصلی شامل دیفیوزر ورودی، کمپرسور، محفظه احتراق، توربین و نازل خروجی است. در مدل‌سازی موتور، هر قسمت به عنوان یک سیستم مجزا در نظر گرفته می‌شود. از مدل ترمودینامیکی صفر بعدی برای به دست آوردن تغییر خواص ترمودینامیکی در حالت گذرا استفاده می‌شود. دما و فشار برای هر قسمت به صورت یکنواخت در نظر گرفته می‌شود. در ادامه، به مدل‌سازی هر قسمت به طور جداگانه پرداخته خواهد شد.

فهرست علاوه بر کار رفته در مدل‌سازی ترمودینامیکی:

T : دما (K):

P : فشار (Pa):

M : ماح:

\dot{m} : دبی جرمی (kg/s):

η : راندمان:

N : سرعت زاویه‌یی روتور (rpm):

C_p : ثابت گرمای ویژه در فشار ثابت (J/kgK):

C_v : ثابت گرمای ویژه در حجم ثابت (J/kgK):

\dot{m}_c : دبی تصحیح شده کمپرسور (kg/s):

M : جرم (kg):

R : ثابت گاز (J/kgK):

C_d : ضریب تخلیه دهانه نازل:

A : مساحت (m^2):

γ : نسبت گرمای ویژه‌ی هوا:

δ : فشار تصحیح شده:

θ : دمای تصحیح شده:

f : مپ‌های کمپرسور و توربین.

اندیس‌ها

f : سوخت:

$star(*)$: شرایط آیزنتروپیک:

ه) نازل خروجی: جریان گاز در نازل در حالت شبه پایا در نظر گرفته می شود. دبی جریان گاز عبوری از نازل با استفاده از نسبت فشار دو طرف نازل و شرایط ورودی نازل مطابق روابط ۲۱ و ۲۲ به دست می آید:

$$\dot{m}_d = C_d A_e \frac{P_0}{\sqrt{RT_0}} \sqrt{\frac{2\gamma}{\gamma-1} \left(\frac{P_e}{P_0}\right)^{\frac{1}{\gamma}}} \sqrt{1 - \left(\frac{P_e}{P_0}\right)^{\frac{\gamma-1}{\gamma}}} \quad (21)$$

$$V_e = c_v \left\{ \frac{2\gamma RT_0}{\gamma-1} \left[1 - \left(\frac{P_e}{P_0}\right)^{\frac{\gamma-1}{\gamma}} \right] \right\}^{1/\gamma} \quad (22)$$

اگر شرط زیر برقرار باشد:

$$\frac{P_e}{P_0} \leq \left(1 + \frac{\gamma-1}{2} M^* \right)^{\frac{2}{\gamma-1}} \quad (23)$$

آنگاه نازل چوک شده و به جای رابطه‌ی ۲۱، از رابطه‌ی ۲۴ استفاده می شود.

$$\dot{m}_d = 0,2588 C_d A_e \frac{P_0}{\sqrt{RT_0}} \sqrt{\frac{2\gamma}{\gamma-1}} \quad (24)$$

و روتور شامل محور پره‌ای کمپرسور و توربین و تجهیزات روی آنهاست. دینامیک روتور با استفاده از رابطه اویلار در حرکت دورانی چنین بیان می شود:

$$\dot{N} = \frac{\dot{m}'_r}{JN} (h'_r - h_r) - \frac{\dot{m}_r}{JN} (h'_r - h_r) \quad (25)$$

مجموعه‌ی معادلات ۱ تا ۲۵ بیان گر رفتار دینامیکی موتور خواهد بود. این معادلات شامل ۷ معادله‌ی دیفرانسیل غیرخطی مرتبه‌ی اول و ۱۸ معادله‌ی جیری است. با توجه به معادلات دیفرانسیل حاصل، بردار متغیرهای حالت شامل ۷ متغیر به صورت زیر است:

$$\begin{bmatrix} x^T \\ \end{bmatrix} = \begin{bmatrix} M_r & T_r & P_r & M_t & T_t & P_t & M_s & T_s & P_s & N \end{bmatrix} \quad (26)$$

شیوه‌سازی دینامیکی موتور از شرایط تعادل سیستم شروع می شود. بنابراین، ابتدا ورودی کنترلی را مشخص کرده و با صفر قرار دادن مشتق متغیرهای حالت، شرایط تعادل یا شرایط اولیه حل معادلات دیفرانسیل با استفاده از روش نیوتن - رافسون به دست می آید. با معلوم بودن شرایط اولیه، معادلات دیفرانسیل با استفاده از روش رانگ - کوتا حل می شود. در جدول ۱، مقادیر پارامترهای استفاده شده در مدل ترمودینامیکی موتور ارائه شده است.

۴. روش پیش‌بینی بومبنای مدل

در صورتی که اثر دینامیکی ناخواسته ناشی از سیستم‌های انتقال در شیوه‌سازی سخت‌افزار در حلقه خنثی نشود، دقت شیوه‌سازی سخت‌افزار در حلقه کاهش می‌یابد. در اینجا برای جیران اثر دینامیکی ناشی از اندازه‌گیری دبی سوخت در شیوه‌سازی سخت‌افزار در حلقه، از ساختار شکل ۶ استفاده شده است. کنترل کننده‌ی به کار برده شده در اینجا یک کنترل کننده‌ی فیدبک حالت بوده که براساس شیوه‌سازی نرم افزاری طراحی شده است. جیران کننده باید بتواند بدون تغییر ساختار و پارامترهای کنترل کننده‌ی اصلی، اثر دینامیکی ناخواسته ناشی از سیستم انتقال را که به واسطه‌ی شیوه‌سازی سخت‌افزار در حلقه ایجاد شده است، جبران کند. در این ساختار، فیلتر

در طی فرایند گذرا، کمپرسور به صورت یک حجم کنترل در نظر گرفته می شود که می‌تواند جرم و انرژی را در خود ذخیره کند. دینامیک دبی جریان هوا از کمپرسور با استفاده از اصل بقای جرم و انرژی و همچنین با استفاده از قانون گاز ایده‌آل به دست می آید:

$$\frac{dM_r}{dt} = \dot{m}'_r - \dot{m}_r - \dot{m}_{tc} \quad (8)$$

$$\frac{dT_r}{dt} = \frac{1}{M_r c_v} [\dot{m}'_r (h'_r - u_r) - (\dot{m}_r + \dot{m}_{tc}) RT_r] \quad (9)$$

$$\frac{dP_r}{dt} = (\dot{m}_r - \dot{m}'_r) \frac{RT_r}{V_r} + \frac{P_r}{T_r} \dot{T}_r \quad (10)$$

\dot{m}_{tc} : دبی هوای کنارگذری است که از کمپرسور برای خنک کاری توربین استفاده می شود.

ج) محفظه‌ی احتراق: احتراق سوخت در محفظه‌ی احتراق فرایند پیچیده‌ی است. وقتی سوخت به هوا ورودی به محفظه‌ی احتراق تزریق می شود، قطرات سوخت همراه با جریان هوا به محفظه‌ی احتراق منتقل می شوند. طی این انتقال، قطرات سوخت توسط هوا داغ محیط بخار می شود. بخار سوخت با هوا داغ ترکیب شده و سوخته می شود. میزان ترکیب هوا و بخار سوخت تعیین کننده بازده محفظه احتراق خواهد بود. فرایند احتراق در مدل سازی موتور ساده‌سازی می شود و فرض می شود که احتراق در لحظه‌ی ورود به محفظه احتراق اتفاق می افتد. میزان افت فشار گاز در محفظه احتراق با استفاده از دبی جریان و دمای گاز از رابطه‌ی ۱۱ محاسبه می شود.

$$\Delta P = P_r - P_t = \frac{1}{P_r} K_b \dot{m}_r (0,771 T_r - 0,85 T_r) \quad (11)$$

و دینامیک جریان گاز در محفظه احتراق با استفاده از اصل بقای جرم و انرژی و همچنین با استفاده از قانون گاز ایده‌آل به صورت زیر به دست می آید.

$$\frac{dM_r}{dt} = \dot{m}'_r - \dot{m}_f - \dot{m}_r \quad (12)$$

$$\frac{dT_r}{dt} = \frac{1}{M_r c_v} [\dot{m}'_r (h'_r - u_r) + \dot{m}_f (h_f \eta_b - u_r) - \dot{m}_r RT_r] \quad (13)$$

$$\frac{dP_r}{dt} = (\dot{m}_r - \dot{m}'_r) \frac{RT_r}{V_r} + \frac{P_r}{T_r} \dot{T}_r \quad (14)$$

$$\dot{m}_r = \dot{m}'_r \quad (15)$$

د) توربین: دبی جرمی گاز و همچنین کاهش آنتالپی توربین، تابعی از نسبت فشار و سرعت محور توربین است:

$$\dot{m}_t = \frac{N}{T_r} P_r f_r \left(\frac{P_r}{P_t}, \frac{N}{\sqrt{T_r}} \right) \quad (16)$$

$$\Delta h_t = h_r - h'_r = NT' r f_r \left(\frac{P_r}{P_t}, \frac{N}{\sqrt{T_r}} \right) \quad (17)$$

طی فرایند گذرا، دینامیک جریان گاز در توربین چنین بیان می شود:

$$\frac{dM_t}{dt} = \dot{m}'_t - \dot{m}_t + \dot{m}_{tc} \quad (18)$$

$$\frac{dT_t}{dt} = \frac{1}{M_t c_v} [\dot{m}'_t (h'_t - u_t) + \dot{m}_{tc} (h_t - u_t) - \dot{m}_t RT_t] \quad (19)$$

$$\frac{dP_t}{dt} = (\dot{m}_t - \dot{m}'_t) \frac{RT_t}{V_t} + \frac{P_t}{T_t} \dot{T}_t \quad (20)$$

موتور توربین گاز هوایی در نرم افزار MATLAB/SIMULINK شبیه‌سازی شده است. برای به دست آوردن ماتریس‌های مدل خطی، از ابزارهای خطی‌سازی در نرم‌افزار MATLAB استفاده شده است.

فرض‌های در نظر گرفته شده برای استفاده از روش پیش‌بین عبارت‌اند از:

(الف) سیستم به طور کامل کنترل پذیر و مشاهده‌پذیر باشد؛

(ب) بیشینه‌ی تأخیر زمانی در کانال پس خور و پیش خور به ترتیب برابر N و M است.

(ج) اگر داده‌یی در یک انتقال مشخص به گیرنده تحویل داده نشود، بدین معناست که اتفاق داده رخ داده است. فرض می‌شود فقط تعداد محدودی اتفاق داده رخ می‌دهد، چون در غیر این صورت سیستم کنترل تحت شبکه، حلقه‌باز می‌شود.

فیلتر کالمن یک روش بهینه برای تخمین متغیرهای حالت سیستم است. این فیلتر با کمینه‌سازی جذر میانگین مرreبعات خطأ، به تخمین دقیق متغیرهای حالت سیستم در حضور نویز و نامعینی‌های سیستم می‌پردازد. مشاهده‌گرها مبتنی بر روش کالمن می‌توانند تخمین دقیق‌تری از حالت‌های سیستم با وجود تأخیر و اتفاق داده داشته باشند. لذا در این پژوهش از فیلتر کالمن برای تخمین متغیرهای حالت سیستم در شبیه‌سازی سخت‌افزار در حلقه استفاده شده است. فیلتر کالمن به عنوان مشاهده‌گر برای تخمین متغیرهای حالت مورد استفاده قرار گرفته است.^[۲۵]

مجموعه خروجی‌های اندازه‌گیری شده توسط دبی سنج در هر زمان نمونه‌برداری به سمت سیستم ارسال می‌شود. فیلتر کالمن بر اساس خروجی سیستم که دارای تأخیر زمانی است، به تخمین متغیرهای حالت می‌پردازد. اگر تأخیر زمانی رخ داده در مسیر عملگر به سیستم برابر نباشد، آنگاه مجموعه داده‌های ارسالی، در زمان $j - k$ به فیلتر کالمن می‌رسد و فیلتر کالمن بر اساس داده‌های ارسال شده به تخمین متغیر حالت در زمان $j - k$ می‌پردازد. پیش‌بینی‌کننده با استفاده از روابط ۲۹ تا ۳۱، متغیرهای حالت برای جبران تأخیر زمانی در مسیر عملگر به سیستم را پیش‌بینی می‌کند.

$$\hat{x}_{k-j+1|k-j} = A\hat{x}_{k-j|k-j-1} + Bu_{k-j} + K_{k-j}(y_{k-j|k-j-1}) \quad (۲۹)$$

$$\hat{x}_{k-j+1|k-j} = A\hat{x}_{k-j+1|k-j} + Bu_{k-j+1}$$

...

$$\hat{x}_{k|k-j} = A\hat{x}_{k-1|k-j} + Bu_{k-1} \quad (۳۰)$$

$\hat{X}_{k-j+1|k-j}$ بیان‌گر تخمین متغیرهای حالت در زمان $1 + j - k$ بر اساس خروجی‌های تا زمان $j - k$ است. کنترل‌کننده نیز با استفاده از بردار متغیرهای حالت پیش‌بینی شده به اندازه‌ی افق پیش‌بین، سیگنال کنترلی مطابق رابطه ۳۱ ایجاد کرده و به عملگر ارسال می‌کند.

$$u_{k|k-j} = L\hat{x}_{k|k-j} \quad (۳۱)$$

معادلات ۲۹ و ۳۰ مربوط به پیش‌بینی‌کننده و معادله ۳۱ بیان‌گر کنترل‌کننده است.

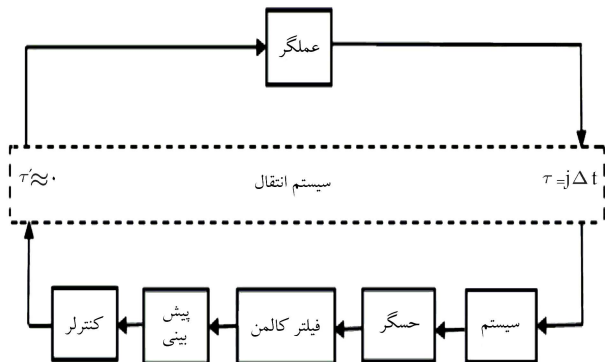
۵. نتایج

۱.۵. اعتبارسنجی مدل موتور

برای اعتبارسنجی شبیه‌سازی ترمودینامیکی موتور توربین گاز هوایی، در بستر آزمون موتور، موتور واقعی مجهز به یک حسگر فشارسنج بعد از کمپرسور، سه حسگر

جدول ۱. مقادیر پارامترهای به کار رفته در مدل‌سازی ترمودینامیکی موتور.

پارامتر	مقدار
دبی سوخت	$\dot{w}_f = 0,038 \text{ kg/s}$
آنتالپی سوخت	$h_f = 22,8 \times 10^6 \text{ J/Kg}$
بارده محفظه احتراق	$\eta_b = 0,9$
بارده مکانیکی	$\eta_m = 0,98$
نسبت گرمای ویژه	$\gamma = 1,4$
ثابت گار	$R = 286,9 \text{ J/KgK}$
مساحت دهانه نازل	$A_n = 0,184 \text{ m}^2$
مساحت توربین	$A_t = 0,0146 \text{ m}^2$
مساحت لایزر محفظه احتراق	$A_l = 0,05014 \text{ m}^2$
نسبت فشار چوک در توربین	$\pi_t^* = 2,15$
نسبت فشار چوک در نازل	$\pi_n^* = 1,89$
فشار محیط	$P_e = 101325 \text{ Pa}$
ضریب تخلیه نازل	$C_d = 0,96$



شکل ۶. جبران‌سازی تأخیر زمانی در شبیه‌سازی سخت‌افزار در حلقه با استفاده از فیلتر کالمن و پیش‌بین.

کالمن بر اساس خروجی‌هایی که در مسیر عملگر به سیستم هستند، به تخمین متغیرهای حالت می‌پردازد. پیش‌بینی‌کننده بر اساس خروجی فیلتر کالمن که همان تخمین متغیرهای حالت است، مجموعه‌یی از پیش‌بینی متغیرهای حالت در زمان آینده را فراهم می‌کند. کنترل‌کننده نیز بر اساس مجموعه متغیرهای حالتی که از پیش‌بین دریافت می‌کند، مجموعه‌یی از سیگنال‌های کنترلی در زمان آینده را ایجاد می‌کند. مدت زمان پیش‌بینی برابر با میزان تأخیر زمانی ناشی از اندازه‌گیری دبی سوخت خواهد بود.

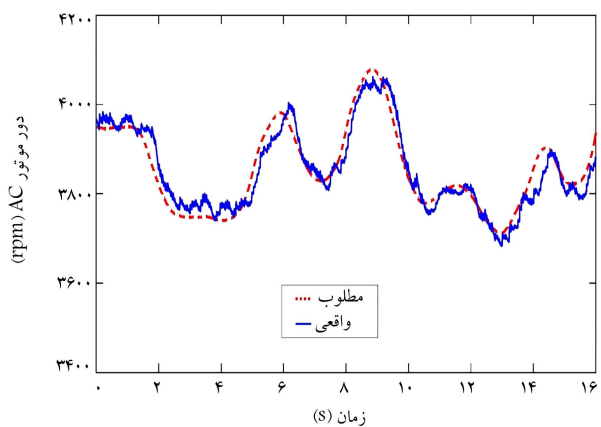
سیستم در نظر گرفته شده در این حالت، سیستم خطی گسسته بوده، که معادله‌ی آن در فضای حالت عبارت است از:

$$x_{k+1} = Ax_k + Bu_k + w_k \quad (۲۷)$$

$$y_k = Cx_k + v_k \quad (۲۸)$$

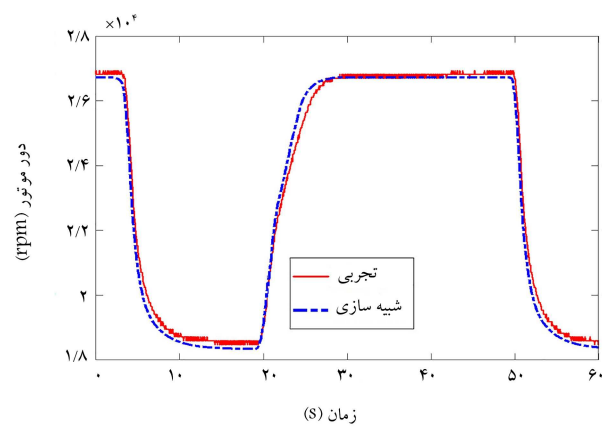
در رابطه‌های ۲۷ و ۲۸ $u_k \in R^m$, $y_k \in R^p$ بردار ورودی‌های سیستم, $x_k \in R^n$ بردار متغیرهای حالت سیستم و $w_k \in R^n$ بردار خروجی‌های سیستم هستند. $v_k \in R^p$ و $C \in R^{p \times n}$ به ترتیب بردار نویز فرایند و نویز خروجی بوده و از نوع نویز سفید با کواریانس $Q \in R^{p \times p}$ و $R \in R^{n \times n}$ هستند.

ماتریس‌های A , B , C و D با استفاده از مدل خطی حاصل از معادلات ترمودینامیکی موتور توربین گاز هوایی به دست آمده است. معادلات ترمودینامیکی

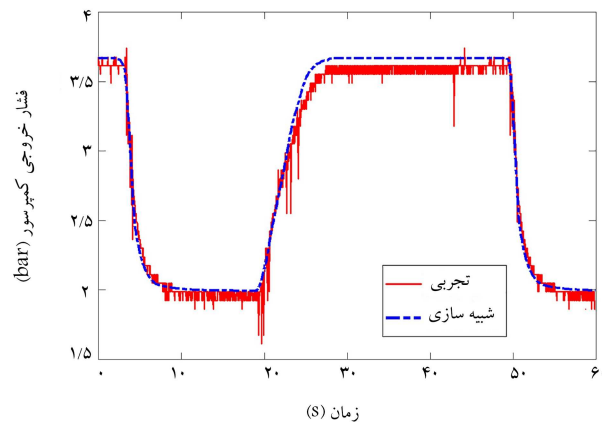


شکل ۹. نتایج تجربی سرعت موتور الکتریکی AC و مقایسه‌ی با فرمان مطلوب.

الکتریکی نسبتی از دور موتور تورین گاز هوایی است. در شکل ۹ فرمان ارسالی از شبیه‌سازی موتور تورین گاز هوایی و نتایج تجربی دور موتور الکتریکی نشان داده شده است. نتایج تجربی نشان می‌دهد که کنترل‌کننده PID طراحی شده برای کنترل دور موتور الکتریکی با دقت کمتر از ۶٪ توانسته است فرمان ارسالی را ردیابی کند. در شروع شبیه‌سازی، اختلاف قابل ملاحظه‌ی در نتایج مشاهده می‌شود زیرا موتور الکتریکی دارای سرعت صفر بوده است و در واقع سرعت مطلوب به صورت یک فرمان پله‌یی عمل کرده است.



شکل ۷. دور محور موتور حاصل از نتایج تجربی و شبیه‌سازی ترمودینامیکی موتور.



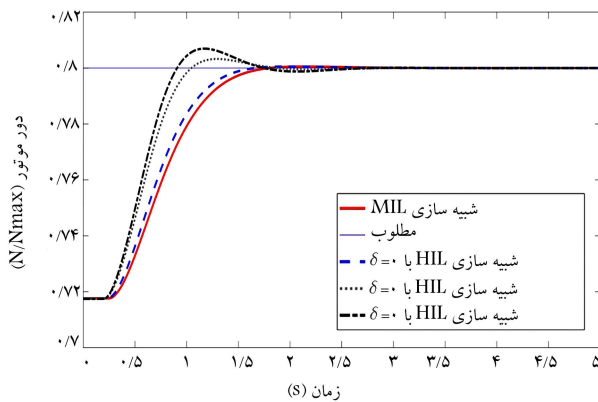
شکل ۸. فشار خروجی از کمپرسور حاصل از نتایج تجربی و شبیه‌سازی ترمودینامیکی موتور.

دما در ورودی نازل، یک حسگر مغناطیسی اثر هال برای اندازه‌گیری دور محور است و برای انجام شبیه‌سازی سخت‌افزار در حلقه به یک حسگر دبی سنج نیز مجهز شده است. برای جمع‌آوری داده‌ی حسگرهای از مازول PC/ 10^4 و با زمان نمونه‌برداری ۱ میلی ثانیه استفاده شده است. در شکل‌های ۷ و ۸، نتایج حاصل از مدل ترمودینامیکی و نتایج تجربی بهاری تغییرات دبی سوخت خروجی از اندازه‌گیری شده با استفاده از مبدل فرکانس به ولتاژ به شبیه‌سازی زمان- واقعی موتور تورین گاز هوایی ارسال می‌شود. میزان تأخیر زمانی دبی سنج وابسته به مشخصات دبی سنج، اتصالات مربوط به آن و همچنین فرکانس تغییرات دبی سوخت دارد.

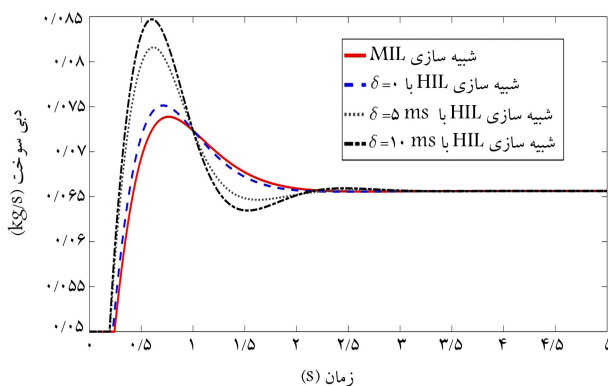
تخمین مناسب مقدار تأخیر زمانی ناشی از اندازه‌گیری دبی سوخت، باعث بهبود عملکرد روش جبران‌سازی ارائه شده می‌شود. برای تخمین تأخیر زمانی، از نمودار بود (Bode) مربوط به اختلاف فاز ورودی و خروجی واحد کنترل سوخت استفاده شده است. برای این منظور ورودی‌های سینوسی با فرکانس‌های مختلف با استفاده از سریموتور به اسپول شیر کنترل دبی اعمال شده و مقدار دبی خروجی از واحد کنترل سوخت در فرکانس‌های مختلف مطابق شکل ۱۰ به صورت نیمه‌لگاریتمی رسم شده است. مقایسه‌ی نتایج حاصل از نمودار فاز تجربی و نمودار فاز مربوط به تأخیر زمانی ثابت، بیان‌گر آن است که در محدوده‌ی فرکانس کاری مورد نظر، با دقت خوبی می‌توان از تأخیر زمانی ثابت $\tau = 25\text{sec}$ برای سیستم انتقال استفاده کرد.

۲.۵. عملکرد سیستم کنترل موتور AC

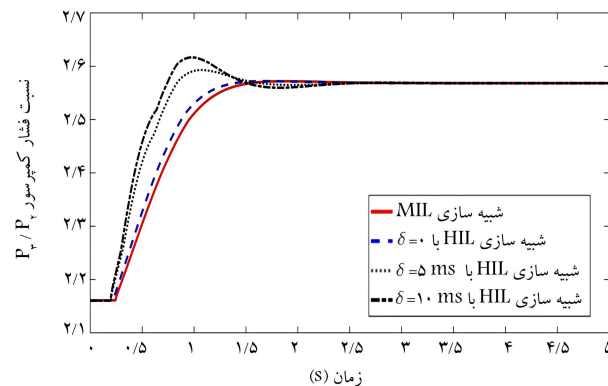
پس از چرخ‌دنده‌یی داخلی واحد الکتروهیدرولیکی کنترل سوخت در موتور تورین گاز هوایی به‌واسطه‌ی محور موتور تورین گاز هوایی و یک گیربکس کاهنده درایو می‌شود. در شبیه‌سازی سخت‌افزار در حلقه، این ارتباط مکانیکی وجود ندارد زیرا موتور تورین گاز هوایی شبیه‌سازی رایانه‌یی می‌شود. بنابراین برای درایو پمپ واحد کنترل سوخت از یک موتور الکتریکی AC استفاده شده است. سیگنال فرمان موتور



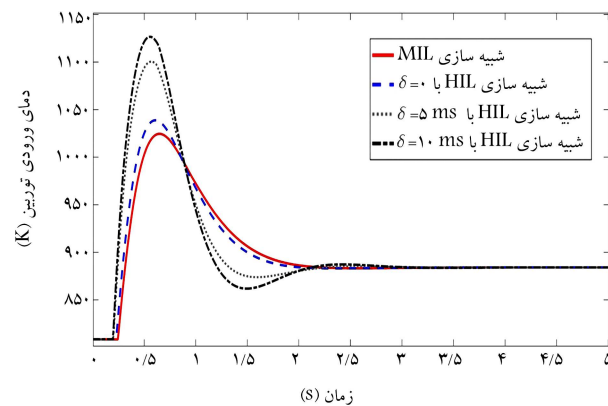
شکل ۱۱. بررسی عدم تطابق تأخیر زمانی در دور موتور.



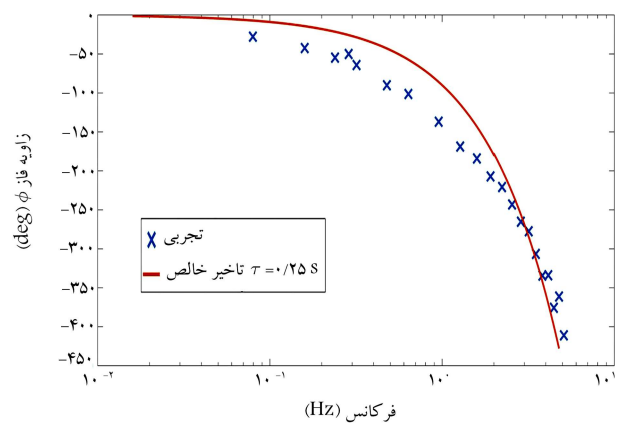
شکل ۱۲. بررسی عدم تطابق تأخیر زمانی در دبی سوخت.



شکل ۱۳. بررسی عدم تطابق تأخیر زمانی در نسبت فشار کمپرسور.



شکل ۱۴. بررسی عدم تطابق تأخیر زمانی در دمای ورودی به توربین.


 شکل ۱۵. نمودار فاز حاصل از داده‌های تجربی و مقایسه‌ی آن با نمودار فاز تأخیر زمانی ثابت $\tau = 0.25 \text{ sec}$.

جدول ۲. مشخصات نقطه‌ی تعادل موتور.

پارامتر	علامت	حدس اولیه	تعادل
دور موتور	N	0.72	0.7
نسبت فشار کمپرسور	P_2/P_1	2.57	2
دما ورودی توربین	T_4	650 K	650 K

۴.۵. ارزیابی شبیه‌سازی سخت‌افزار در حلقه

برای شبیه‌سازی سخت‌افزار در حلقه در حالت گذرا، شرایط اولیه موتور در حالت تعادل در نظر گرفته می‌شود. شرایط تعادل با تعیین میزان سوخت ورودی به موتور به دست می‌آید. با یک حدس اولیه مطابق جدول ۲، شرایط تعادل با استفاده از روش نیوتون - رافسون برای دبی سوخت $m_f = 0.05 \text{ kg/s}$ به دست آمده است.

یکی از پارامترهای تأثیرگذار در عملکرد روش پیش‌بینی ارائه شده، میزان تأخیر زمانی در نظر گرفته شده در روش پیش‌بینی است. در این شبیه‌سازی، تأخیر زمانی با استفاده از روش فرکانسی برابر $\tau = 0.25 \text{ sec}$ به دست آمده است.

خطای محاسبه‌ی تأخیر زمانی، تأثیر زیادی در عملکرد روش پیش‌بینی ارائه شده دارد. بنابراین در شکل‌های ۱۱ تا ۱۴ بررسی اثر خطای محاسبه‌ی تأخیر زمانی نشان داده شده است. در شکل ۷ و ۸ به ترتیب، نویز ناشی از حسگر دورسنج و فشارسنج قابل مشاهده است. با توجه به این روش به صورت تجربی انجام گرفته است، نتایج ارائه شده با در نظر گرفتن اغتشاش ناشی از حسگرهای بوده است.

اگر تأخیر زمانی واقعی با تأخیر زمانی محاسبه شده، تطابق نداشته باشد آنگاه دقت شبیه‌سازی سخت‌افزار در حلقه کاهش می‌یابد. در اینجا این میزان عدم تطابق با نشان داده شده است. به عبارت دیگر، فرض شده است که تأخیر زمانی در روش پیش‌بینی برابر $\tau + \delta$ و تأخیر زمانی واقعی برابر τ است. در شکل‌های ۱۱ تا ۱۴ اثر عدم تطابق تأخیر زمانی در پارامترهای مهم موتور از جمله دور موتور (N)، دبی جرمی سوخت ورودی (m_f)، نسبت فشار کمپرسور (P_2/P_1) و همچنین دمای گاز ورودی به توربین (T_4) نشان داده شده است. در حالتی که تطابق بین تأخیرهای زمانی ناچیز باشد ($\delta = 0$)، نتایج شبیه‌سازی HIL به شبیه‌سازی MIL نزدیک باشند ولی چنانچه بین تأخیرهای زمانی واقعی و شبیه‌سازی کاهش می‌یابد. حالت $\delta = \pm 5 \text{ ms}$ داشته باشد ($\delta = \pm 5 \text{ ms}$ ، دقت شبیه‌سازی $\delta = \pm 5 \text{ ms}$ به شاید $\delta = 0$ بیان کر شرایطی است که تأخیر زمانی، دست بالا تخمین زده شود ولی حالت $\delta = -5 \text{ ms}$ نشان‌دهنده‌ی آن است که تأخیر زمانی، دست پایین تخمین زده شده است. نتایج

توانسته است تأخیر زمانی مسیر پس خور را جبران کند و نتایج شبیه‌سازی سخت‌افزار در حلقة (HIL) نسبت به شبیه‌سازی مدل در حلقة (MIL) دارای خطای کمتر از ۵٪ است.

در روش پیش‌بینی برمنای مدل ارائه شده، فیلتر کالمون نقش مشاهده‌گر متغیرهای حالت را دارد و وظیفه پیش‌بینی متغیرهای حالت در افق پیش‌بینی مورد نظر را ندارد. با توجه به این که در اینجا از کنترل‌کننده‌ی فیدبک حالت استفاده شده است و این کنترل‌کننده از متغیرهای تخمین زده شده توسط فیلتر کالمون استفاده می‌کند، عملکرد فیلتر کالمون در عملکرد کنترل‌کننده فیدبک حالت نشان داده می‌شود. به عبارت دیگر، عملکرد کنترل‌کننده و فیلتر کالمون به صورت مجموعه‌یی به هم وابسته در شکل‌های ۱۱ تا ۱۵ نشان داده شده است.

۶. نتیجه‌گیری

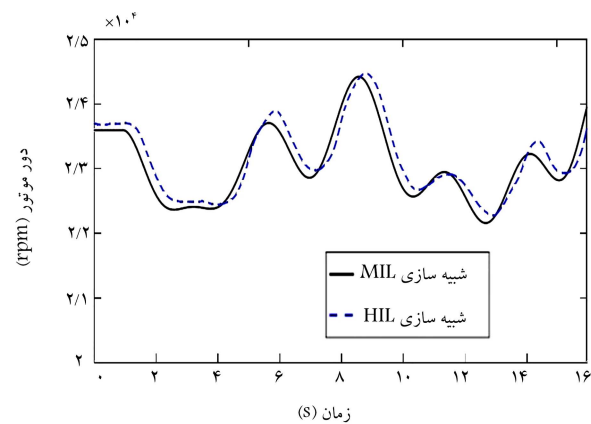
روش پیش‌بینی براساس مدل برای جبران سازی تأخیر زمانی در شبیه‌سازی سخت‌افزار در حلقة واحد کنترل ساخت موتور توربین گاز هوایی در شبیه‌سازی سخت‌افزار است. در این شبیه‌سازی، موتور توربین گاز هوایی به همراه واحد کنترل الکترونیکی ساخت (FCU) شبیه‌سازی رایانه‌یی شده و واحد الکتروهیدرولیکی کنترل ساخت (ECU) به صورت فیزیکی در حلقة شبیه‌سازی قرار گرفته است. برای شبیه‌سازی موتور از مدل ترمودینامیکی که شامل معادلات دیفرانسیل و جبری است، استفاده شده است. مقایسه‌ی نتایج تجربی آزمون موتور توربین گاز هوایی با نتایج مدل ترمودینامیکی موتور بیان‌گر خطای کمتر از ۷٪ بوده است. در شبیه‌سازی سخت‌افزار در حلقة، واحد کنترل ساخت به صورت فیزیکی در حلقة شبیه‌سازی قرار گرفته است؛ بنابراین دبی خروجی از واحد کنترل ساخت با استفاده از دبی سنج اندازه‌گیری شده و به شبیه‌سازی رایانه‌یی ارسال شده است. بررسی پاسخ فرکانسی واحد کنترل ساخت نشان می‌دهد که می‌توان دینامیک دبی سنج را به صورت یک تأخیر زمانی ثابت در شکل ۱۵، نتایج شبیه‌سازی سخت‌افزار در حلقة (HIL) با شبیه‌سازی مدل در حلقة (MIL) مربوط به دور محور موتور توربین گاز هوایی نشان داده شده‌اند. فرمان خلبان به صورت یک ورودی چند سینوسی با دامنه‌های مختلف در نظر گرفته شده است. در الگوریتم پیاده‌سازی شده برای سیستم کنترل الکترونیکی ساخت، فرمان خلبان به عنوان مرجع دور موتور در نظر گرفته شده است. با توجه به انتخاب گام زمانی شبیه‌سازی برابر و $1sec = \Delta t$ و نیز در نظر گرفتن تأخیر زمانی برابر با مقدار ثابت $2.5sec = \tau$ ، پیش‌بینی برای گام بعدی $2.5sec = \tau$ (j) انجام می‌گیرد. شکل ۱۵ بیان‌گر عملکرد روش پیش‌بینی برمنای مدل در ریدیابی سیگنال است. در صورت عدم استفاده از جبران کننده تأخیر زمانی، پاسخ سیستم نپایدار خواهد بود. نتایج شبیه‌سازی نشان می‌دهد که روش پیش‌بینی برمنای مدل به خوبی است.

پابنوشت‌ها

- model in the loop (MIL)
- software in the loop (SIL)

منابع (References)

- Isermann, R., Schaffnit, J. and Sinsel, S. "Hardware-in-the-loop simulation for the design and testing of engine-



شکل ۱۵. مقایسه‌ی دور موتور توربین گاز هوایی در شبیه‌سازی سخت‌افزار در حلقة و شبیه‌سازی مدل در حلقة.

شبیه‌سازی نشان می‌دهد که اگر تأخیر زمانی دست بالا تخمین زده شود، نتایج شبیه‌سازی نسبت به حالتی که تأخیر زمانی دست پایین تخمین زده می‌شود، دارای دقیق‌تری است. برای ارزیابی عملکرد روش ارائه شده، شبیه‌سازی سخت‌افزار در حلقة (HIL) با شبیه‌سازی نرم‌افزار در حلقة (MIL) مقایسه شده است. هرقدر عملکرد روش ارائه شده بهتر باشد، نتایج شبیه‌سازی سخت‌افزار در حلقة (HIL) به شبیه‌سازی نرم‌افزار در حلقة (MIL) نزدیک‌تر خواهد شد زیرا در شبیه‌سازی نرم‌افزار در حلقة (MIL)، تأخیر زمانی بین واحد کنترل ساخت و مدل موتور وجود ندارد. چنان که در شکل‌های ۱۱ تا ۱۴ مشاهده می‌شود، عدم تطابق تأخیر زمانی واقعی و افق پیش‌بینی در روش ارائه شده، فقط می‌تواند در پاسخ گذراي سیستم مؤثر باشد. البته اگر این عدم تطابق از حد مجاز خارج شود آن‌گاه سیستم نپایدار خواهد شد. در شکل ۱۵، نتایج شبیه‌سازی سخت‌افزار در حلقة (HIL) با شبیه‌سازی مدل در حلقة (MIL) مربوط به دور محور موتور توربین گاز هوایی نشان داده شده‌اند. فرمان خلبان به صورت یک ورودی چند سینوسی با دامنه‌های مختلف در نظر گرفته شده است. در الگوریتم پیاده‌سازی شده برای سیستم کنترل الکترونیکی ساخت، فرمان خلبان به عنوان مرجع دور موتور در نظر گرفته شده است. با توجه به انتخاب گام زمانی شبیه‌سازی برابر و $1sec = \Delta t$ و نیز در نظر گرفتن تأخیر زمانی برابر با مقدار ثابت $2.5sec = \tau$ ، پیش‌بینی برای گام بعدی $2.5sec = \tau$ (j) انجام می‌گیرد. شکل ۱۵ بیان‌گر عملکرد روش پیش‌بینی برمنای مدل در ریدیابی سیگنال است. در صورت عدم استفاده از جبران کننده تأخیر زمانی، پاسخ سیستم نپایدار خواهد بود. نتایج شبیه‌سازی نشان می‌دهد که روش پیش‌بینی برمنای مدل به خوبی

control systems", *Control Engineering Practice*, **7**, pp. 643-653 (1999).

- Cheng, T. "Hardware in the loop simulation of mini type turbojet engine digital control regulator", *Journal of aerospace power*, **19**(3), pp. 383-386 (2004).
- Cao, Y., Teng, W. and Zhang, H. "Hardware-in-the-loop simulation for engine idle speed control based on ANFIS", In *Proceedings of 7th World Congress on Intelligent Control and Automation (WCICA)*, no. 4593421, pp. 3125-3137. New York: IEEE. 25-27 June (2008).

4. Salehi, A., and Montazeri-Gh, M. "Black box modeling of a turboshaft gas turbine engine fuel control unit based on neural NARX", *Proceedings of the Institution of Mechanical Engineers, Part M: Journal of Engineering for the Maritime Environment*, **233**(3), pp.949-956 (2018).
5. Watanabe, S.M., Ölçmen, R. P., Leland, K. W. and et al. "Soft computing applications on a SR-30 turbojet engine", *Fuzzy Sets and Systems*, **157**(22), pp. 3007-3024 (2006).
6. Bao, W., Sui, Y. F. and Liu, Z.M. "Design and realization of hardware-in-the-loop simulation for turbofan engine", *Journal of System Simulation*, **18**(6), pp. 603-615 (2006).
7. Xie, G.H., Meng, L. and Xue, E. "Hardware-in-the-loop simulation of a liquid fuel ramjet engine control system", *Journal of Propulsion Technology*, **22**(6), pp. 451-453 (2001).
8. Duan, C., Xie, S.S. and Cai, K.L. "Hardware-in-the-loop simulation of turbofan aero engine control system", *Journal of Propulsion Technology*, **5**, pp. 434-438 (2005).
9. Montazeri-Gh, M., Nasiri, M. and Jafari, S. "Real-time multi-rate HIL simulation platform for evaluation of a jet engine fuel controller", *Simulation Modelling Practice and Theory*, **19**(3), pp. 996-1006 (2011).
10. Montazeri-Gh, M., Abyaneh, S. and Kazemnejad, S. "Hardware-in-the-loop simulation of two-shaft gas turbine engine's electronic control unit", *Proceedings of the Institution of Mechanical Engineers, Part I: Journal of Systems and Control Engineering*, **230** (6) (2016).
11. Gawthrop, P.J., Wagg, D.J. and Neild, S.A. "Bond graph based control and substructuring", *Simulation Modelling Practice and Theory*, **17**(1), pp. 211-227 (2009).
12. Gans, N.R., Dixon, W.E., Lind, R. and et al. "A hardware in the loop simulation platform for vision-based control of unmanned air vehicles", *Mechatronics*, **19**(7), pp. 1043-1056 (2009).
13. Karpenko, M. and Sepehri, N. "Hardware-in-the-loop simulator for research on fault tolerant control of electrohydraulic actuators in a flight control application", *Mechatronics*, **19**(7), pp. 1067-1077 (2009).
14. Bradley, T.H., Moffitt, B.A., Mavris, D.N. and et al. "Hardware-in-the-loop testing of a fuel cell aircraft powerplant", *AIAA Journal of Propulsion and Power*, **25**(6), pp. 1336-1344 (2009).
15. Montazeri-Gh, M. and Nasiri, M. "Hardware-in-the-loop simulation for testing of electro-hydraulic fuel control unit in a jet engine application", *Simulation Modelling Practice and Theory*, **89**(2), pp. 225-233 (2013).
16. Guilló-Sansano, M.H., Syed, A.J., Roscoe, G. M. and et al. "Characterization of time delay in power hardware in the loop setups", *In IEEE Transactions on Industrial Electronics*, **68**(3), pp. 2703-2713 (2021).
17. Cale, J.L. and et al. "Mitigating communication delays in remotely connected hardware-in-the-loop experiments", *In IEEE Transactions on Industrial Electronics*, **65**(12), pp. 9739-9748 (2018).
18. De Farias, A.B.C., Rodrigues, R.S., Murilo, A. and et al. "Low-Cost Hardware-in-the-Loop Platform for Embedded Control Strategies Simulation", *In IEEE Access*, **7**, pp. 111499-111512 (2019).
19. Horiuchi, T. and Konno, T. "A new method for compensating actuator delay in real-time hybrid experiment", *Phil Trans R Soc*, **359**, pp. 1893-1909 (2001).
20. Ahmadizadeh, M., Mosqueda, G. and Reinhorn, A.M. "Compensation of actuator delay and dynamics for real-time hybrid structural simulation", *Earthquake Engineering and Structural Dynamics*, **37**(1), pp. 21-42 (2008).
21. Gawthrop, P.J., Virden, D.W., Neild, S.A. and et al. "Emulator-based control for actuator-based hardware-in-the-loop testing", *Control Engineering Practice*, **16**(8), pp. 897-908 (2008).
22. Chen, C. and Ricles, J.M. "Analysis of actuator delay compensation methods for real-time testing", *Engineering Structures*, **31**(11), pp. 2643-2655 (2009).
23. Chen, C. and Ricles, J.M. "Improving the inverse compensation method for real-time hybrid simulation through a dual compensation scheme", *Earthquake Engineering and Structural Dynamics*, **38**(10), pp. 1237-1255 (2009).
24. Wallace, M.I., Wagg, D.J. and Neild, S.A. "An adaptive polynomial based forward prediction algorithm for multi-actuator real-time dynamic substructuring", *In Proceedings of the Royal Society A: Mathematical, Physical and Engineering Sciences*, **461**(2064), pp. 3807-3826 (2005).